

Starkniederschlagshöhen und -spenden gemäß KOSTRA-DWD-2020

Rasterfeld 90196

(Zeile 90, Spalte 196)

Regenspende und Bemessungsniederschlagswerte in Abhängigkeit von Wiederkehrzeit T und Dauerstufe D

| Dauerstufe D | | Wiederkehrzeit T | | | | | | | | | | | | | | | | | |
|--------------|-----|------------------|------------|------|------------|------|------------|------|------------|------|------------|-------|------------|-------|------------|-------|------------|-------|------------|
| | | 1 a | | 2 a | | 3 a | | 5 a | | 10 a | | 20 a | | 30 a | | 50 a | | 100 a | |
| min | Std | mm | l / (s ha) | mm | l / (s ha) | mm | l / (s ha) | mm | l / (s ha) | mm | l / (s ha) | mm | l / (s ha) | mm | l / (s ha) | mm | l / (s ha) | mm | l / (s ha) |
| 5 | | 6,8 | 226,7 | 8,6 | 286,7 | 9,8 | 326,7 | 11,3 | 376,7 | 13,4 | 446,7 | 15,6 | 520,0 | 17,1 | 570,0 | 19,0 | 633,3 | 21,7 | 723,3 |
| 10 | | 8,8 | 146,7 | 11,1 | 185,0 | 12,6 | 210,0 | 14,5 | 241,7 | 17,3 | 288,3 | 20,1 | 335,0 | 22,0 | 366,7 | 24,4 | 406,7 | 27,9 | 465,0 |
| 15 | | 10,0 | 111,1 | 12,6 | 140,0 | 14,3 | 158,9 | 16,5 | 183,3 | 19,6 | 217,8 | 22,8 | 253,3 | 25,0 | 277,8 | 27,7 | 307,8 | 31,7 | 352,2 |
| 20 | | 10,8 | 90,0 | 13,7 | 114,2 | 15,5 | 129,2 | 17,9 | 149,2 | 21,3 | 177,5 | 24,8 | 206,7 | 27,1 | 225,8 | 30,2 | 251,7 | 34,5 | 287,5 |
| 30 | | 12,1 | 67,2 | 15,3 | 85,0 | 17,3 | 96,1 | 20,0 | 111,1 | 23,8 | 132,2 | 27,7 | 153,9 | 30,3 | 168,3 | 33,7 | 187,2 | 38,5 | 213,9 |
| 45 | | 13,4 | 49,6 | 17,0 | 63,0 | 19,3 | 71,5 | 22,2 | 82,2 | 26,4 | 97,8 | 30,8 | 114,1 | 33,7 | 124,8 | 37,4 | 138,5 | 42,8 | 158,5 |
| 60 | 1 | 14,4 | 40,0 | 18,3 | 50,8 | 20,7 | 57,5 | 23,8 | 66,1 | 28,4 | 78,9 | 33,1 | 91,9 | 36,1 | 100,3 | 40,2 | 111,7 | 45,9 | 127,5 |
| 90 | 1,5 | 15,9 | 29,4 | 20,2 | 37,4 | 22,8 | 42,2 | 26,3 | 48,7 | 31,3 | 58,0 | 36,5 | 67,6 | 39,9 | 73,9 | 44,3 | 82,0 | 50,7 | 93,9 |
| 120 | 2 | 17,0 | 23,6 | 21,6 | 30,0 | 24,4 | 33,9 | 28,2 | 39,2 | 33,5 | 46,5 | 39,1 | 54,3 | 42,7 | 59,3 | 47,5 | 66,0 | 54,3 | 75,4 |
| 180 | 3 | 18,7 | 17,3 | 23,8 | 22,0 | 26,9 | 24,9 | 31,0 | 28,7 | 36,9 | 34,2 | 43,0 | 39,8 | 47,0 | 43,5 | 52,2 | 48,3 | 59,7 | 55,3 |
| 240 | 4 | 20,0 | 13,9 | 25,4 | 17,6 | 28,7 | 19,9 | 33,1 | 23,0 | 39,5 | 27,4 | 46,0 | 31,9 | 50,2 | 34,9 | 55,8 | 38,8 | 63,8 | 44,3 |
| 360 | 6 | 22,0 | 10,2 | 27,9 | 12,9 | 31,6 | 14,6 | 36,4 | 16,9 | 43,3 | 20,0 | 50,5 | 23,4 | 55,2 | 25,6 | 61,3 | 28,4 | 70,1 | 32,5 |
| 540 | 9 | 24,1 | 7,4 | 30,6 | 9,4 | 34,6 | 10,7 | 39,9 | 12,3 | 47,5 | 14,7 | 55,4 | 17,1 | 60,5 | 18,7 | 67,3 | 20,8 | 76,9 | 23,7 |
| 720 | 12 | 25,8 | 6,0 | 32,7 | 7,6 | 37,0 | 8,6 | 42,6 | 9,9 | 50,8 | 11,8 | 59,2 | 13,7 | 64,7 | 15,0 | 71,8 | 16,6 | 82,2 | 19,0 |
| 1080 | 18 | 28,3 | 4,4 | 35,9 | 5,5 | 40,6 | 6,3 | 46,8 | 7,2 | 55,7 | 8,6 | 64,9 | 10,0 | 70,9 | 10,9 | 78,8 | 12,2 | 90,1 | 13,9 |
| 1440 | 24 | 30,2 | 3,5 | 38,3 | 4,4 | 43,3 | 5,0 | 49,9 | 5,8 | 59,5 | 6,9 | 69,3 | 8,0 | 75,7 | 8,8 | 84,1 | 9,7 | 96,2 | 11,1 |
| 2880 | 48 | 35,3 | 2,0 | 44,8 | 2,6 | 50,7 | 2,9 | 58,5 | 3,4 | 69,6 | 4,0 | 81,1 | 4,7 | 88,6 | 5,1 | 98,5 | 5,7 | 112,6 | 6,5 |
| 4320 | 72 | 38,7 | 1,5 | 49,2 | 1,9 | 55,6 | 2,1 | 64,1 | 2,5 | 76,3 | 2,9 | 88,9 | 3,4 | 97,2 | 3,8 | 108,0 | 4,2 | 123,5 | 4,8 |
| 5760 | 96 | 41,4 | 1,2 | 52,5 | 1,5 | 59,4 | 1,7 | 68,4 | 2,0 | 81,5 | 2,4 | 94,9 | 2,7 | 103,8 | 3,0 | 115,3 | 3,3 | 131,8 | 3,8 |
| 7200 | 120 | 43,5 | 1,0 | 55,2 | 1,3 | 62,5 | 1,4 | 72,0 | 1,7 | 85,7 | 2,0 | 99,9 | 2,3 | 109,2 | 2,5 | 121,3 | 2,8 | 138,7 | 3,2 |
| 8640 | 144 | 45,3 | 0,9 | 57,6 | 1,1 | 65,1 | 1,3 | 75,0 | 1,4 | 89,3 | 1,7 | 104,1 | 2,0 | 113,8 | 2,2 | 126,4 | 2,4 | 144,6 | 2,8 |
| 10080 | 168 | 47,0 | 0,8 | 59,6 | 1,0 | 67,4 | 1,1 | 77,7 | 1,3 | 92,5 | 1,5 | 107,8 | 1,8 | 117,8 | 1,9 | 130,9 | 2,2 | 149,7 | 2,5 |

Starkniederschlagshöhen und -spenden gemäß KOSTRA-DWD-2020

Rasterfeld 90196

(Zeile 90, Spalte 196)

Örtliche Unsicherheiten in Abhängigkeit von Wiederkehrzeit T und Dauerstufe D

| Dauerstufe D | | Wiederkehrzeit T | | | | | | | | |
|--------------|-----|------------------|-----|-----|-----|------|------|------|------|-------|
| | | 1 a | 2 a | 3 a | 5 a | 10 a | 20 a | 30 a | 50 a | 100 a |
| min | Std | ± % | ± % | ± % | ± % | ± % | ± % | ± % | ± % | ± % |
| 5 | | 12 | 12 | 12 | 13 | 13 | 14 | 14 | 15 | 15 |
| 10 | | 12 | 14 | 15 | 16 | 17 | 18 | 19 | 19 | 20 |
| 15 | | 14 | 16 | 17 | 18 | 20 | 21 | 21 | 22 | 23 |
| 20 | | 15 | 17 | 19 | 20 | 21 | 22 | 23 | 23 | 24 |
| 30 | | 16 | 19 | 20 | 21 | 23 | 24 | 24 | 25 | 26 |
| 45 | | 16 | 19 | 21 | 22 | 24 | 25 | 25 | 26 | 27 |
| 60 | 1 | 16 | 19 | 21 | 22 | 24 | 25 | 25 | 26 | 27 |
| 90 | 1,5 | 16 | 19 | 20 | 22 | 23 | 24 | 25 | 26 | 26 |
| 120 | 2 | 16 | 19 | 20 | 21 | 23 | 24 | 25 | 25 | 26 |
| 180 | 3 | 15 | 18 | 19 | 21 | 22 | 23 | 24 | 24 | 25 |
| 240 | 4 | 14 | 17 | 18 | 20 | 21 | 22 | 23 | 24 | 24 |
| 360 | 6 | 14 | 16 | 17 | 19 | 20 | 21 | 22 | 23 | 23 |
| 540 | 9 | 13 | 15 | 17 | 18 | 19 | 20 | 21 | 21 | 22 |
| 720 | 12 | 13 | 15 | 16 | 17 | 19 | 20 | 20 | 21 | 21 |
| 1080 | 18 | 12 | 14 | 15 | 16 | 18 | 19 | 19 | 20 | 20 |
| 1440 | 24 | 12 | 14 | 15 | 16 | 17 | 18 | 19 | 19 | 20 |
| 2880 | 48 | 13 | 14 | 14 | 15 | 16 | 17 | 17 | 18 | 19 |
| 4320 | 72 | 13 | 14 | 14 | 15 | 16 | 17 | 17 | 18 | 18 |
| 5760 | 96 | 14 | 14 | 15 | 15 | 16 | 17 | 17 | 17 | 18 |
| 7200 | 120 | 15 | 15 | 15 | 15 | 16 | 17 | 17 | 17 | 18 |
| 8640 | 144 | 15 | 15 | 15 | 16 | 16 | 17 | 17 | 17 | 18 |
| 10080 | 168 | 16 | 15 | 15 | 16 | 16 | 17 | 17 | 17 | 18 |

Parameter für abweichende T und D

Lokationsparameter ξ (Xi)

14,70379149

Skalenparameter α (Alpha)

5,5016925

Formparameter κ (Kappa)

-0,1

1. Koutsoyiannis-Parameter θ (Theta)

0,02555264

2. Koutsoyiannis-Parameter η (Eta)

0,77321651

Parameter für dauerstufenübergreifende Extremwertschätzung nach KOUTSOYIANNIS et al. 1998.

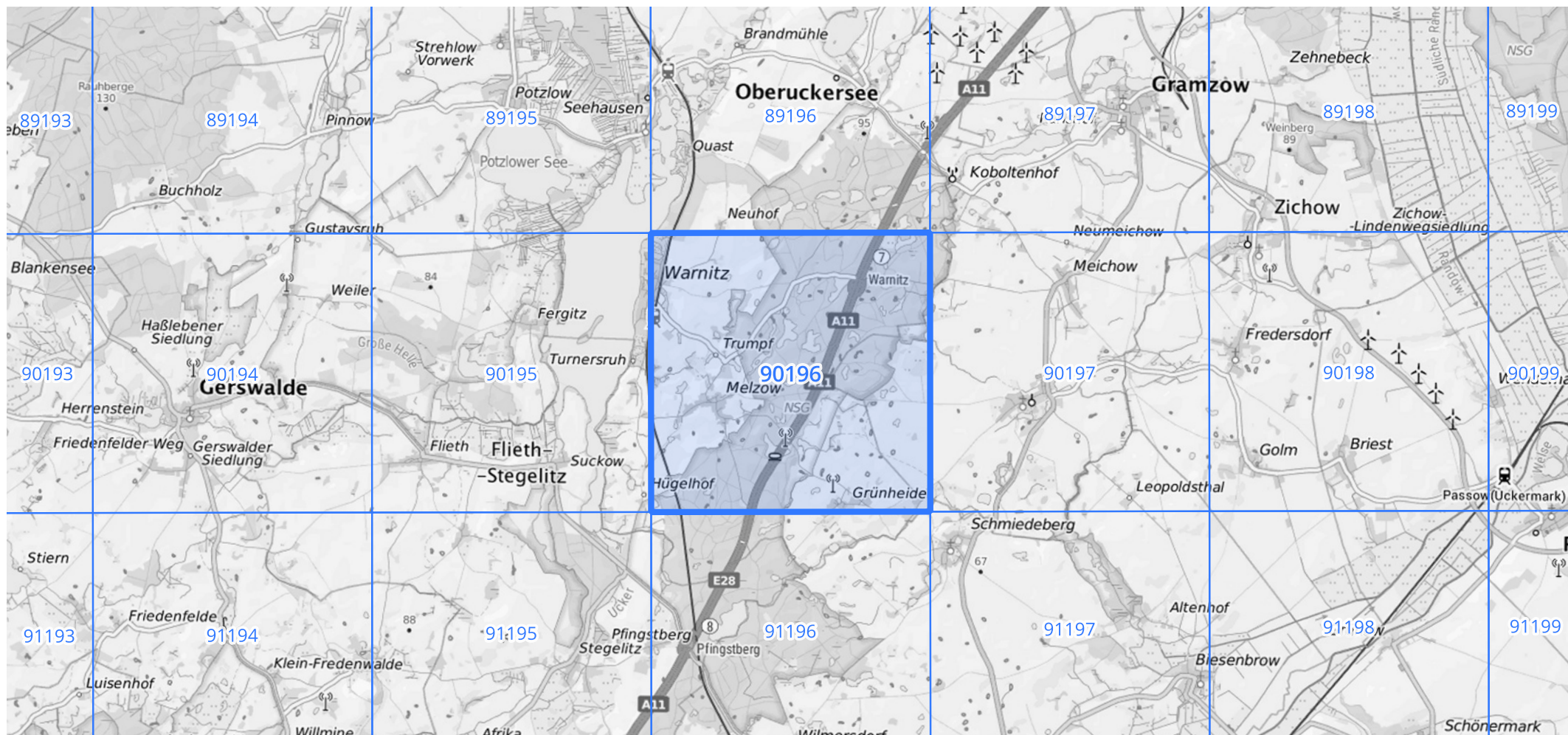
Siehe auch Anwendungshilfe zu KOSTRA-DWD-2020 des Deutschen Wetterdienstes.

Starkniederschlagshöhen und -spenden gemäß KOSTRA-DWD-2020

Rasterfeld 90196

(Zeile 90, Spalte 196)

Übersichtskarte des Rasterfeldes 90196, M 1 : 100 000



Quelle Rasterdaten: KOSTRA-DWD-2020 des Deutschen Wetterdienstes, Stand 12/2022.

Seite 3 von 3

Kartendarstellung: © Bundesamt für Kartographie und Geodäsie (2023), Datenquellen: https://sgx.geodatenzentrum.de/web_public/gdz/datenquellen/Datenquellen_TopPlusOpen.html

Für die Richtigkeit und Aktualität der Angaben wird keine Gewähr übernommen. Erstellt 01/2023.